

УДК 519.688

Виноградов С.А.

Национальный университет гражданской защиты Украины, г. Харьков

## КОМПЬЮТЕРНОЕ МОДЕЛИРОВАНИЕ ПАРАМЕТРОВ ВЫСОКОСКОРОСТНЫХ СТРУЙ ЖИДКОСТИ

*Построена математическая модель внутренней баллистики импульсного водомета в квазистационарной постановке. Для решения системы уравнений создан программный комплекс. Проведено моделирование параметров высокоскоростных струй с использованием комплекса.*

### Введение

Импульсная подача жидкости широко используется в современной промышленности, в том числе и в автомобилестроении. Струи жидкости высокой скорости могут быть применены, в частности, для разбора и резки автомобиля при ликвидации последствий ДТП.

Высокоскоростные струи жидкости можно получить из специальных устройств – гидропушки (ГП) и импульсного водомета (ИВ) (рисунок 1). В этих установках реализуются разные физические принципы: вытеснение жидкости из замкнутого объема через малое отверстие в ИВ и ускорение жидкости при втекании в сужающееся сопло в ГП. Данные установки могут работать на различных источниках энергии, однако наиболее мощные и надежные – установки с пороховым приводом.

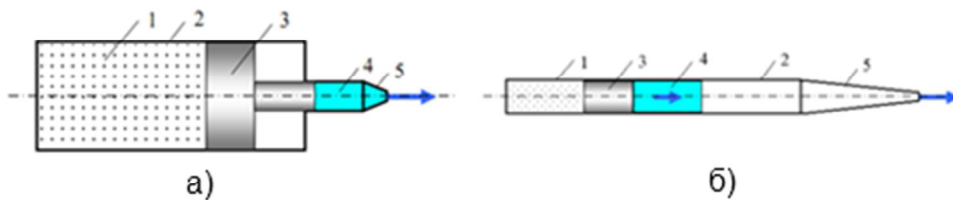


Рисунок 1 – Гидропушка (а) и импульсный водомет (б)  
1 – ресивер; 2 – ствол; 3 – поршень; 4 – вода; 5 – сопло

Различные физические процессы в ГП и ИВ влекут за собой изменение характеристик струй. Струя ГП обладает большой скоростью и низкой дальностью. Для струи ИВ наоборот, характерна большая, по сравнению со струей ГП, дальность и меньшая скорость. В дальности заключаются ее преимущества.

Однако для использования высокоскоростных струй ИВ необходимо уметь определять параметры струи в зависимости от размеров установки и количества заряда. Для этого нужно определить математические модели, описывающие процессы, протекающие во время выстрела ИВ, а также создать программное обеспечение для расчета этих моделей.

### Основной материал

В [1, 2] доказано, что параметры ИВ с поршневым приводом во многих практических случаях с достаточной точностью могут быть рассчитаны в квазистационарном приближении, когда они усредняются по всему объему жидкости. В такой постановке внутренняя баллистика ИВ описывается системой дифференциальных и алгебраических уравнений.

Для построения системы уравнений внутренней баллистики импульсного водомета примем ряд допущений: изменение параметров воды примем адиабатическими, осредненными по объему ствола, ствол имеет форму цилиндра с плоскими торцами, а истечение происходит через малое отверстие, кинетической энергией частиц воды в стволе пренебре-

гаем, жидкость примем идеальной, течение будем считать квазиодномерным, отсутствует вращение, конструкция абсолютно жесткая и упругих деформаций нет, течение воды в заре между поршнем и стволовом отсутствует.

Система уравнений внутренней баллистики порохового импульсного водомета с учетом принятых допущений имеет вид

$$\begin{aligned} \frac{dz}{dt} &= \frac{u_1}{h_1} p_g = u_{p1}, \\ \frac{dm_g}{dt} &= m_{p0} \chi_1 \sigma u_{p1} = Q_g, \\ \frac{dp_g}{dt} &= \frac{(k-1)qQ_g + ka_1 p_g Q_w - \alpha_1 p_g Q_g}{V_g + ka_2 p_g}, \\ \frac{dm_w}{dt} &= -u_s F_s \rho_0 = Q_w, \\ V_g &= V_{g0} + (V_{w0} - a_1 m_w) + \alpha_1 m_g, \end{aligned} \quad (1)$$

где  $u_s$  – скорость истечения струи из сопла;

$t$  – время;

$z = h / h_1$  – относительная толщина сгоревшего слоя;

$2h_1$  – начальная толщина порохового зерна;

$h$  – толщина сгоревшего слоя;

$u_1$  и  $q$  – постоянная скорости горения и удельная теплота сгорания пороха;

$V_g$  и  $p_g$  – объем и давление пороховых газов;

$m_{p0}$  – начальная масса пороха;

$\chi_1, \lambda_1, \mu_1$  – коэффициенты, определяемые формой порохового зерна;

$\sigma(z)$  – относительная площадь поверхности горения;

$k$  – показатель адиабаты продуктов сгорания пороха;

$a_1 = 1 / \rho_p - \alpha$  – поправка, учитывающая собственный объем молекул пороховых газов;

$\rho_p$  – плотность твердого пороха;

$m_w$  – текущая масса воды в водомете;

$F_s$  – площадь поперечного сечения сопла;

$a_0 \approx 1476 \text{ м/с}$  – скорость звука в воде при атмосферном давлении;

$\rho_0$  – плотность жидкости;

$V_{w0}$  – начальный объем воды.

Переменные величины

$$a_1 = \frac{1}{\rho_0} \left( \frac{B}{p_g + B} \right)^{1/n}, \quad a_2 = \frac{m_w}{nB\rho_0} \left( \frac{B}{p_g + B} \right)^{\frac{n+1}{n}}, \quad (2)$$

где  $B = 304,5 \text{ МПа}$ ,  $n = 7,15$ .

Начальные условия для системы (1)

$$m_b = m_{b0}, \quad z = 0, \quad V_g = V_{g0}, \quad m_g = m_{g0}, \quad p_g = p_{g0}, \quad x_g = 0. \quad (3)$$

Здесь  $V_{g0}$ ,  $m_{g0}$ ,  $p_{g0}$  – параметры газа после срабатывания воспламенителя.

Начальный объем и масса газа определяются по объему камеры сгорания, массе пороха и давлению газов после срабатывания воспламенителя:

$$V_{g0} = V_k - m_{p0}/\rho_p, \quad m_{g0} = \frac{p_{g0}V_{g0}}{(k-1)q}. \quad (4)$$

Поскольку аналитически решить задачу внутренней баллистики устройств импульсной подачи высокоскоростных струй жидкости не представляется возможным, для этих целей разработан программный комплекс WaterCannonSimulator на языке C++, с использованием кросс-платформенного инструментария разработки программного обеспечения Qt, который позволяет запускать созданное на нем ПО в большинстве современных операционных систем путем простой компиляции программ без изменения исходного кода. Программный комплекс является полностью объектно-ориентированным и поддерживающим технику компонентного программирования.

Для увеличения производительности программы во время разработки применялся Meta Object Compiler (MOC) – система предварительной обработки исходного кода [3]. Использование MOC позволило во много раз увеличить мощь библиотек. Кроме того, это позволило сделать код более лаконичным. Был создан дополнительный исходный файл на C++, содержащий мета-объектный код.

Исходными данными для расчета являются: начальная масса пороха, вид пороха, показатель адиабаты продуктов горения, плотность жидкости, длины ствола, сопла, коллиматора и их радиусы.

Интерфейс программы (рисунок 2) состоит из двух частей. В левой части находится окно ввода переменных. В правой части находится окно вывода полученных при моделировании результатов. Окно вывода полученных результатов представляет собой координатную сетку, в которую выполняется вывод полученных графиков. Внизу экрана находятся параметры моделирования, то есть шаги по времени и по длине, а также время. Программа позволяет сохранять и загружать полученные результаты моделирования при помощи кнопки сохранить / загрузить, находящейся в нижней части экрана. Также можно экспортить полученный график в известные форматы графических объектов: bmp, jpg, png.

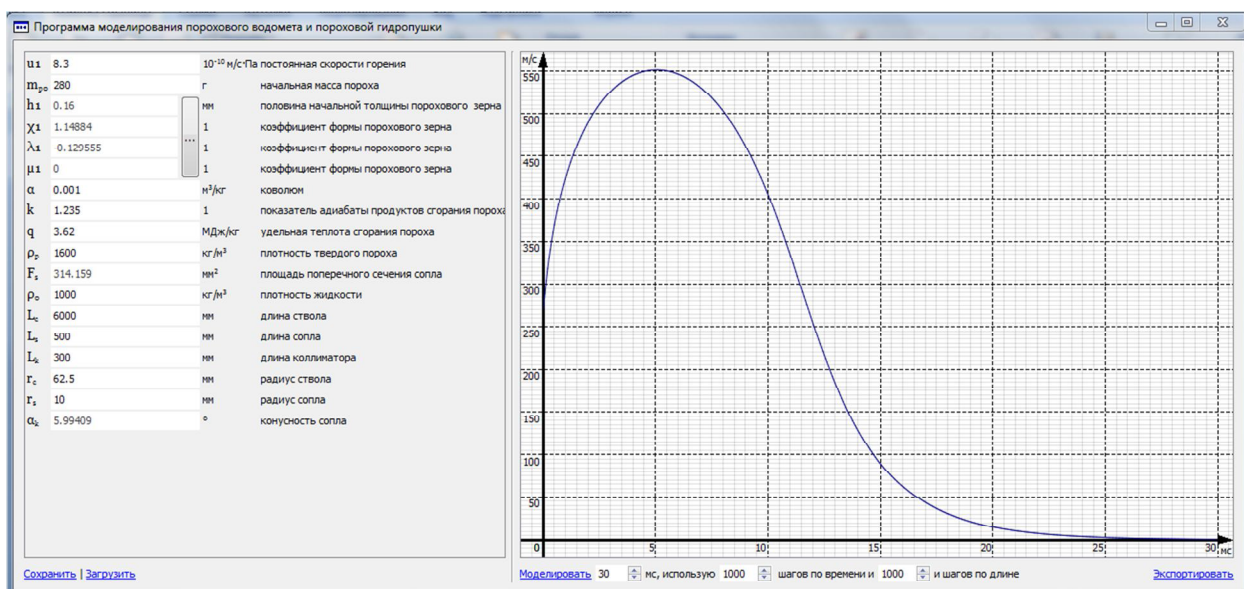


Рисунок 2 – Интерфейс программы WaterCannonSimulator

При решении системы уравнений использовались численные методы Эйлера – наиболее простой численный метод решения (систем) обыкновенных дифференциальных уравнений, и прямой метод Рунге–Кутта – метод, позволяющий получить результат высокой точности. Расчеты проводились на подвижной регулярной сетке, один конец которой опирался на срез сопла, а другой – на контактную поверхность, закон движения которой определялся в процессе решения задачи.

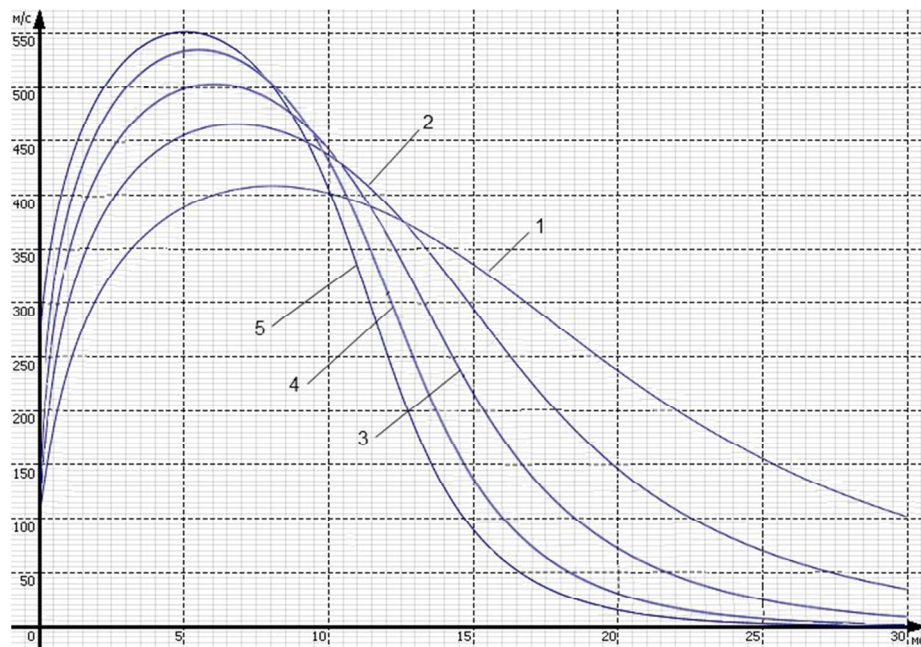


Рисунок 3 – Зависимость скорости истечения от массы пороха:  
 $R_c = 62,5 \text{ мм}$ ,  $R_s = 10 \text{ мм}$ ,  $L_c = 6000 \text{ мм}$ ,  $L_s = 300 \text{ мм}$ ,  $L_k = 300 \text{ мм}$ .  
1 –  $m_{p0} = 100 \text{ г}$ ; 2 –  $m_{p0} = 150 \text{ г}$ ; 3 –  $m_{p0} = 200 \text{ г}$ ; 4 –  $m_{p0} = 250 \text{ г}$ ; 5 –  $m_{p0} = 300 \text{ г}$

Из графиков на рисунке 3 и 4 видно, что изменение массы пороха и радиуса сопла оказывает существенное влияние на параметры выстрела.

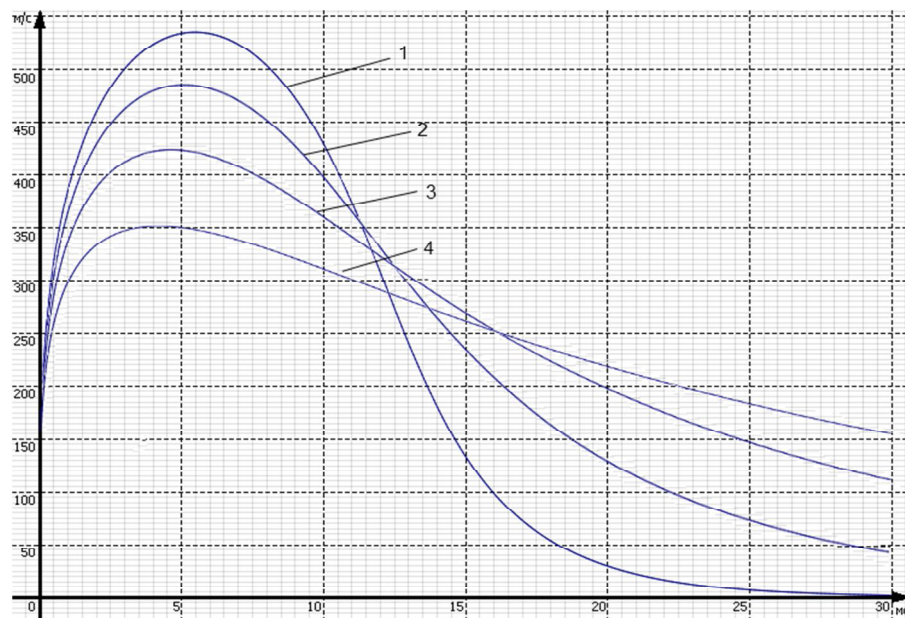


Рисунок 4 – Зависимость скорости истечения от радиуса сопла:  
 $R_c = 62,5 \text{ мм}$ ,  $L_c = 6000 \text{ мм}$ ,  $L_s = 300 \text{ мм}$ ,  $L_k = 300 \text{ мм}$ ,  $m_{p0} = 250 \text{ г}$ .  
1 –  $R_s = 10 \text{ мм}$ ; 2 –  $R_s = 15 \text{ мм}$ ; 3 –  $R_s = 20 \text{ мм}$ ; 4 –  $R_s = 25 \text{ мм}$

Влияния длины ствола и длины сопла (рисунок 5, 6) напротив, являются незначительными, и могут не учитываться при расчете, например, оптимальных параметров устройств.

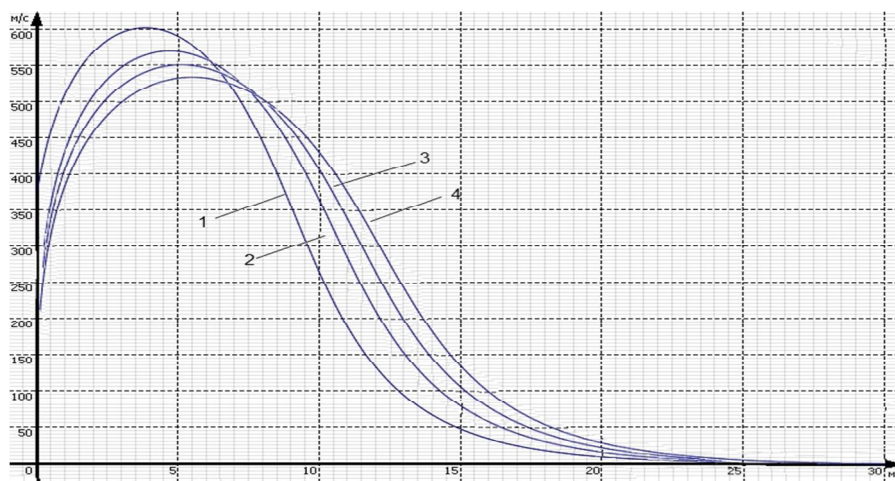


Рисунок 5 – Зависимость скорости истечения от длины ствола:  $R_c = 62,5$  мм;  $R_s = 10$  мм;  $L_s = 300$  мм;  $L_k = 300$  мм;  $m_{p0} = 250$  г.  
1 –  $L_c = 3000$  мм; 2 –  $L_c = 4000$  мм; 3 –  $L_c = 5000$  мм; 4 –  $L_c = 6000$  мм.

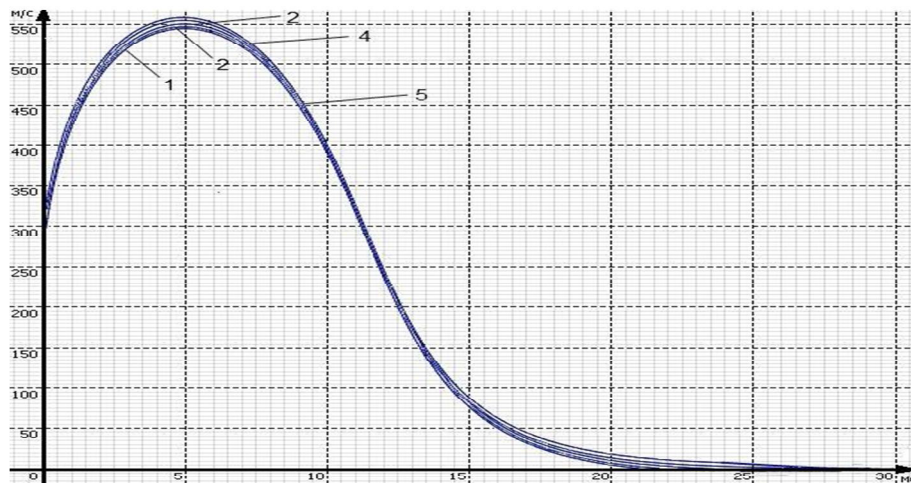


Рисунок 6 – Зависимость скорости истечения от длины сопла:  $R_c = 62,5$  мм;  $R_s = 10$  мм;  $L_c = 6000$  мм;  $L_k = 300$  мм;  $m_{p0} = 250$  г.  
1 –  $L_s = 100$  мм; 2 –  $L_s = 200$  мм; 3 –  $L_s = 300$  мм; 4 –  $L_s = 400$  мм; 5 –  $L_s = 500$  мм.

### **Выводы**

Таким образом установлено, что изменение массы пороха и радиуса сопла оказывает решающее влияние на параметры выстрела импульсного водомета. Дальнейшие исследования должны быть направлены на оптимизацию устройства.

### **Список литературы**

- Атанов Г.А. Внутренняя баллистика гидропушки и импульсного водомета: дис...д-ра физ.-мат. наук: 01.02.05 / Г.А. Атанов. – Донецк, 1977. – 220 с.
- Семко А.Н. Импульсные струи жидкости высокого давления / А.Н. Семко. – Донецк: Вебер, 2007. – 149 с.
- Газодинамические основы внутренней баллистики / С.А. Бетехтин, А.П. Виницкий, М.С. Горохов, и др. / под общей ред. К.П. Станюковича. – М.: Оборонгиз. – 1957. – 384 с.

Рецензент: к.т.н., доц. А.В. Хімченко, АДІ ДВНЗ «ДонНТУ».

Стаття надійшла до редакції 05.09.12  
© Виноградов С.А., 2012